

Лабораторная работа № 5

Измерение параметров реактивных элементов цепей переменного тока методом трех вольтметров

Цель работы: изучить метод векторных диаграмм для расчета цепей синусоидального переменного тока и освоить экспериментальные методы определения параметров пассивных элементов цепей переменного тока.

Цепь с активным сопротивлением

Если цепь переменного тока содержит только резистор R , к которому приложено синусоидальное напряжение u (рис. 1(а)):

$$u = U_0 \sin \omega t, \quad (1)$$

то сила тока в цепи будет определяться по закону Ома для однородного участка цепи:

$$i = \frac{u}{R} = \frac{U_0 \sin \omega t}{R} = I_0 \sin \omega t, \quad (2)$$

где $I_0 = \frac{U_0}{R}$ - амплитуда силы тока.

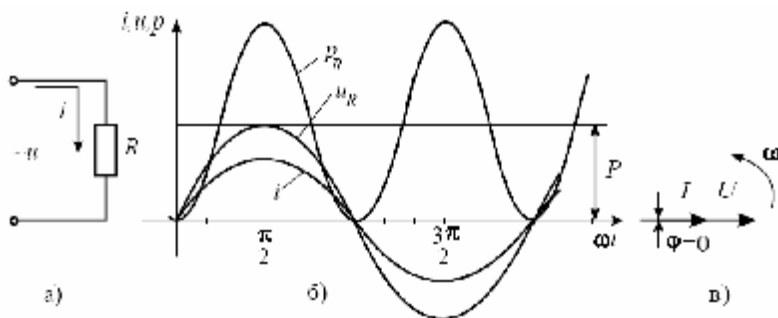


Рис. 1. Схема, временная и векторная диаграммы цепи с активным сопротивлением

Из выражений (1) и (2) следует, что в цепи с активным сопротивлением сила тока и напряжение совпадают по фазе. Обе эти

величины можно изобразить на временной (рис. 1(б)) и векторной (рис. 1(в)) диаграммах.

Рассмотрим энергетические процессы в цепи с активным элементом.

Скорость преобразования электрической энергии в другие виды энергии характеризует мгновенную мощность p :

$$p = i \cdot u = I_0 U_0 \sin^2 \omega t = \frac{1}{2} (I_0 U_0 - I_0 U_0 \cos 2\omega t), \quad (3)$$

Кроме мгновенного значения мощности p , различают еще среднюю мощность за период, которую называют активной мощностью и обозначают буквой P :

$$P = \frac{1}{T} \int_0^T i \cdot u \cdot dt = \frac{1}{2} I_0 U_0 = \frac{I_0}{\sqrt{2}} \cdot \frac{U_0}{\sqrt{2}} = I \cdot U, \quad (4)$$

где $I = \frac{I_0}{\sqrt{2}}$, $U = \frac{U_0}{\sqrt{2}}$ - действующие значения силы синусоидального переменного тока и напряжения соответственно.

Активная мощность характеризует работу, совершаемую в электрической цепи за период, т.е. определяет электрическую энергию, необратимо преобразовавшуюся в другие виды энергии. Единицей измерения активной мощности является ватт (Вт).

График изменения мгновенной мощности для цепи с активным сопротивлением показан на рис. 1(б). В любой момент времени направления тока и напряжения совпадают, следовательно, мгновенная мощность положительна и колеблется с угловой частотой 2ω в пределах от 0 до $I_0 U_0$, т.е. активное сопротивление потребляет электрическую энергию от источника и необратимо преобразует ее в другие виды энергии.

Цепь с индуктивностью

Если цепь переменного тока содержит только катушку с индуктивностью L , к которой приложено синусоидальное напряжение u (рис. 2(а)):

$$u = U_0 \sin \omega t, \quad (5)$$

то изменяющаяся сила тока создает в катушке ЭДС самоиндукции:

$$\mathcal{E}_C = -L \frac{di}{dt} \quad (6)$$

Поэтому данный участок цепи следует считать неоднородным, и закон Ома для него имеет вид

$$i = \frac{u + \mathcal{E}_C}{R}. \quad (7)$$

При условии $R \rightarrow 0$ имеем $u = -\mathcal{E}_C$ или $U_0 \sin \omega t = L \frac{di}{dt}$. Интегрируя данное уравнение, получим:

$$i = \frac{U_0}{\omega L} \sin \left(\omega t - \frac{\pi}{2} \right). \quad (9)$$

Обозначим $X_L = \omega L$ и назовем реактивным сопротивлением индуктивности (индуктивным сопротивлением), тогда

$$i = I_0 \sin \left(\omega t - \frac{\pi}{2} \right), \quad (10)$$

где $I_0 = \frac{U_0}{X_L}$.

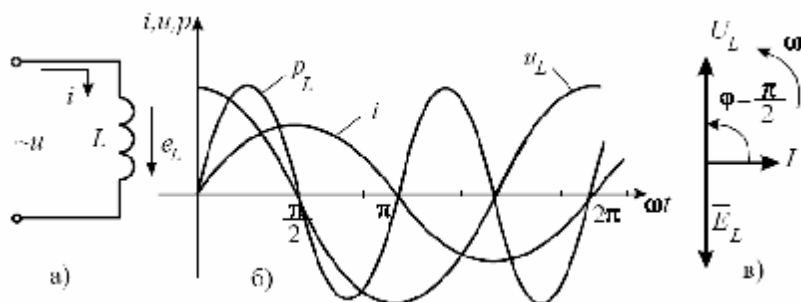


Рис. 2. Схема временная и векторная диаграммы цепи с идеальным индуктивным элементом

Таким образом, в цепи с индуктивностью возникает индуктивное сопротивление $X_L = \omega L$, а сила тока отстает от напряже-

ния на угол $\frac{P}{2}$. Временная и векторная диаграммы изображены на рис. 2(б) и 2(в).

Перейдем к анализу энергетических процессов в цепи с индуктивным элементом.

Мгновенная мощность индуктивного элемента

$$p = i \cdot u = I_0 \cdot U_0 \cdot \sin \omega t \cdot \sin \left(\omega t + \frac{P}{2} \right) = I_0 \cdot U_0 \cdot \sin \omega t \cdot \cos \omega t = \\ = \frac{1}{2} I_0 U_0 \sin 2\omega t \quad , (11)$$

изменяется по закону синуса с удвоенной частотой.

Активная мощность P , характеризующая необратимые преобразования энергии и определяемая средним значением мгновенной мощности за период, для индуктивного элемента равна нулю:

$$P = \frac{1}{T} \int_0^T i \cdot u \cdot dt = \frac{1}{T} \int_0^T \frac{1}{2} I_0 U_0 \sin 2\omega t dt = 0 . \quad (12)$$

Таким образом, в цепи с идеальным индуктивным элементом работа не совершается, а происходит только периодический обмен энергией между источником электрической энергии и магнитным полем индуктивного элемента.

График мгновенной мощности на индуктивном элементе показан на рис. 2(б).

В первую четверть периода направления напряжения и тока совпадают и $p > 0$, т.е. индуктивный элемент потребляет электрическую энергию от источника. Во вторую четверть периода направления напряжения и тока противоположны и $p < 0$, т.е. индуктивный элемент является источником и высвобождает энергию, запасенную в магнитном поле.

Цепь с емкостью

Если цепь переменного тока содержит конденсатор с емкостью C , к которому приложено синусоидальное напряжение u (рис. 3(а)):

$$u = U_0 \sin \omega t , \quad (14)$$

то заряд конденсатора будет периодически изменяться, и мгновенное значение силы тока в этой цепи

$$i = \frac{dq}{dt} = \frac{d(C \cdot u)}{dt} = \omega C U_0 \cos \omega t = \omega C U_0 \sin\left(\omega t + \frac{\pi}{2}\right). \quad (15)$$

Обозначим $X_C = \frac{1}{\omega C}$ и назовем реактивным сопротивлением емкости (емкостным сопротивлением), тогда

$$i = I_0 \sin\left(\omega t + \frac{\pi}{2}\right), \quad (16)$$

где $I_0 = \frac{U_0}{X_C}$.

Амплитудные значения силы тока и напряжения связаны соотношением $I_0 = \omega C U_0$.

Из (15) следует, что ток в цепи с емкостью опережает приложенное напряжение на угол $\frac{\pi}{2}$. Временная и векторная диаграммы изображены на рис. 3(б) и 3(в).

Деля соотношение (16) на $\sqrt{2}$, получим закон Ома для цепи с емкостью $I = \omega C U$ или $U = I \frac{1}{\omega C} = I \cdot X_C$, (17)

здесь $X_C = \frac{1}{\omega C}$ (17а) имеет размерность сопротивления и называется емкостным сопротивлением.

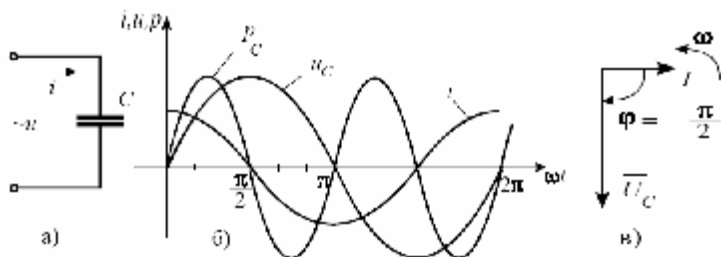


Рис. 3. Схема, временная и векторная диаграммы цепи с идеальным емкостным элементом

Перейдем к анализу энергетических процессов в цепи с емкостным элементом. Мгновенная мощность емкостного элемента

$$p = ui = \frac{1}{2} U_0 \cdot I_0 \cdot \sin \omega t \cdot \sin \left(\omega t + \frac{\pi}{2} \right) = UI \sin 2\omega t, \quad (18)$$

изменяется по закону синуса с удвоенной частотой.

Активная мощность, характеризующая необратимые процессы преобразования энергии и определяемая средним значением мгновенной мощности за период, для емкостного элемента равна нулю.

$$P_{cp} = P = \frac{1}{T} \int_0^T i \cdot u \cdot dt = \frac{1}{T} \int_0^T IU \sin 2\omega t dt = 0. \quad (19)$$

Таким образом, в цепи с идеальным емкостным элементом не совершается работа, а происходит только периодический обмен энергией между источником и электрическим полем. Интенсивность этого обмена принято характеризовать наибольшим значением скорости поступления энергии в электрическом поле, которое называют реактивной мощностью и обозначают Q_C

$$Q_C = U_C I = X_C I^2 \quad (20)$$

Реактивная мощность емкостного элемента, так же как и реактивная мощность индуктивного элемента, измеряется Вольт-Ампер реактивный, сокращенно ВАр.

График мгновенной мощности приведен на рис. 3(б). В первую четверть периода направления напряжения и тока совпадают и $p > 0$, т.е. емкостной элемент потребляет энергию от источника, которая запасается в электрическом поле. Во вторую четверть периода направления напряжения и тока противоположны, $p < 0$, т.е. емкостной элемент является источником и отдает запасенную в электрическом поле энергию.

Цепь с активно-индуктивной нагрузкой

Практически любая катушка обладает не только индуктивностью L , но и активным сопротивлением R (рис.4(а)).

По второму закону Кирхгофа для мгновенных значений приложенное напряжение к зажимам цепи уравнивается падением напряжения на активном сопротивлении и падением напряжения на индуктивности:

$$u = u_R + u_L. \quad (21)$$

Выразив напряжение u_R и u_L через ток

$$i = I_m \sin \omega t \quad (22)$$

и сопротивления участков цепи R и X_L , получим:

$$I_m R \sin \omega t + I_m \sin \left(\omega t + \frac{\pi}{2} \right) = U_m \sin(\omega t + j). \quad (23)$$

Здесь

$$U_m = \sqrt{(I_m R)^2 + (I_m X_L)^2} = I_m \sqrt{R^2 + X_L^2}, \quad (24)$$

$$\operatorname{tg} j = \frac{I_m X_L}{I_m R} = \frac{X_L}{R}. \quad (25)$$

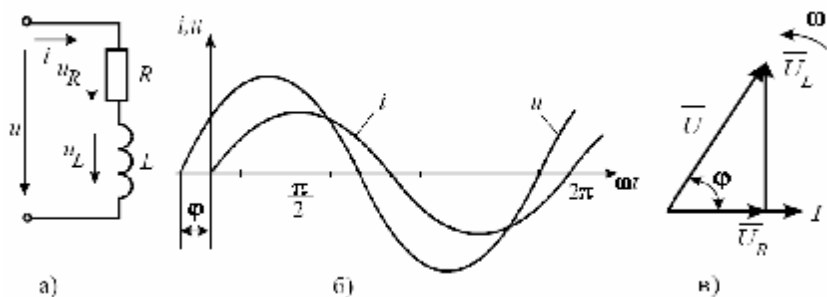


Рис. 4. Схема, временная и векторная диаграммы цепи с активным сопротивлением и индуктивностью

Таким образом, напряжение на входе цепи с активным сопротивлением и индуктивностью опережает ток на угол j . Временная и векторная диаграмма изображены на рис. 4(б) и 4(в).

Закон Ома для рассматриваемой цепи на основании (24)

$$I = \frac{U}{\sqrt{R^2 + (\omega L)^2}} = \frac{U}{\sqrt{R^2 + X_L^2}} = \frac{U}{Z}, \quad (26)$$

где $Z = \sqrt{R^2 + X_L^2}$ - полное сопротивление цепи.

Треугольник сопротивлений, подобный треугольнику напряжений, построен на рис. 5(а). Как видно из этого треугольника

$$\cos j = \frac{R}{Z}, \sin j = \frac{X_L}{Z}. \quad (27)$$

Для анализа энергетических процессов в цепи R, L мгновенную мощность удобно рассматривать в виде суммы мгновенных значений активной $p_R = iu_R$ и реактивной (индуктивной) $p_L = iu_L$ мощностей $p = p_R + p_L$. Графики p_R и p_L изображены на рис. 5(б).

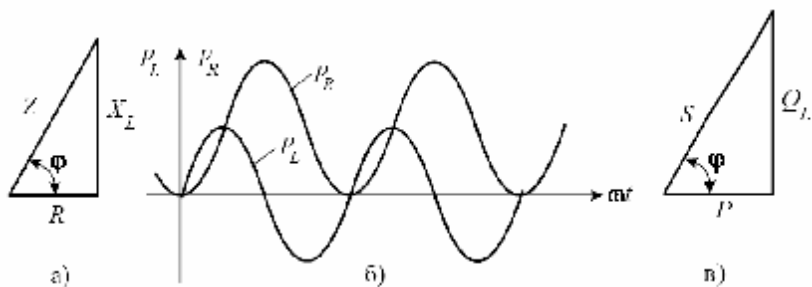


Рис. 5. Временная диаграмма мгновенных значений активной p_R и индуктивной p_L мощностей. Треугольники сопротивлений и мощностей

Из графика p_R видно, что активная мощность непрерывно поступает от источника и выделяется в активном сопротивлении в виде тепла. Мгновенная мощность p_L непрерывно циркулирует между источником и катушкой.

Умножив стороны треугольника сопротивлений на ток, получим треугольник мощностей (рис. 5(в)).

Стороны треугольника мощностей представляют:

$P = U_R I = I^2 R$ - активная мощность цепи, Вт;

$Q = U_L I = I^2 X_L$ - реактивная мощность цепи, ВАр;

$S = UI = I^2 Z$ - полная мощность цепи, ВА;

$\cos \varphi = \frac{P}{S}$ - коэффициент мощности цепи.

Параметры реальной катушки (r_K, L) можно определить экспериментально, если последовательно с ней включить дополнительное сопротивление R (рис. 6(а)).

Измерив ток в цепи, а также напряжения U , U_R , U_K , можно построить в масштабе векторную диаграмму в соответствии с рис. 6(б) (т.е. построить треугольник по трем известным сторонам).

$$\text{Тогда } r_K = \frac{U_{K.a}}{I}, \quad X_K = \frac{U_K}{I}, \quad L = \frac{X_K}{\omega} = \frac{X_K}{2\pi f} \quad (28)$$

Данный метод определения параметров реальной катушки носит название опыта трех вольтметров.

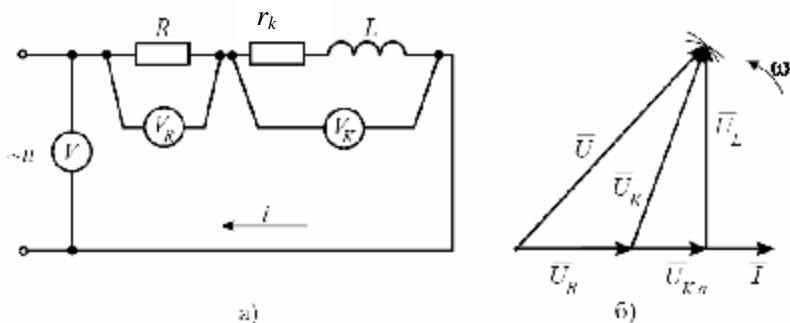


Рис. 6. Электрическая схема и векторная диаграмма цепи с резистором и реальной катушкой индуктивности

Эти параметры также находятся из очевидных уравнений для цепи рис. 6(а)

$$Z = \sqrt{(R + r_K)^2 + X_L^2} = \frac{U}{I}, \quad (29)$$

$$Z_K = \sqrt{r_K^2 + X_L^2} = \frac{U_K}{I}, \quad (30)$$

$$R = \frac{U_R}{I}. \quad (31)$$

Если измерить ток и напряжение на катушке при двух известных частотах f_1 и f_2 получим систему двух уравнений с двумя неизвестными параметрами R_K и L :

$$Z_{f_1} = \frac{U_{K_{f_1}}}{I_{K_{f_1}}} = \sqrt{r_K^2 + (2\pi f_1 L)^2}, \quad (32)$$

$$Z_{f_2} = \frac{U_{K_{f_2}}}{I_{K_{f_2}}} = \sqrt{r_K^2 + (2\pi f_2 L)^2}, \quad (33)$$

где $U_{K_{f_1}}$, I_{f_1} - напряжение и ток катушки при частоте f_1 ;

$U_{K_{f_2}}$, I_{f_2} - напряжение и ток катушки при частоте f_2 .

Полагаем, что r_K от частоты не зависит. Второй метод носит название опыта двух частот.

Цепь с активно-емкостной нагрузкой

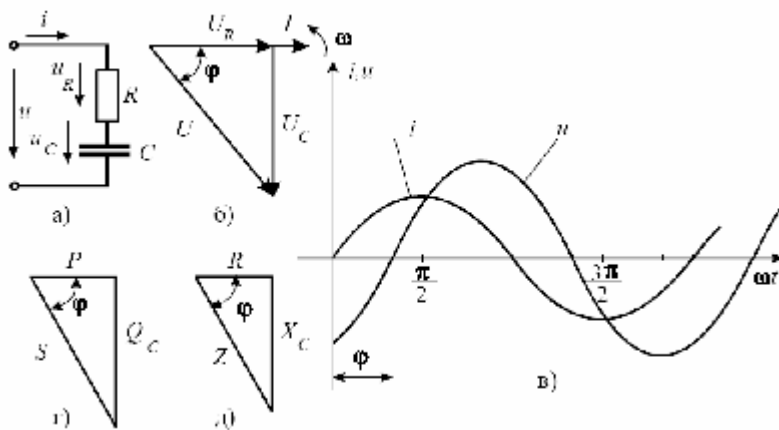


Рис. 7. Схема, временные диаграммы и треугольники напряжений, сопротивлений и мощностей цепи с активным и емкостным элементами

В этом случае уравнение напряжения цепи (рис. 7(а)) имеет вид:

$$u = u_R + u_C . \quad (34)$$

Напряжение на активном сопротивлении

$$u_R = RI_m \sin \omega t , \quad (35)$$

совпадает по фазе с током.

Напряжение на емкости

$$u_C = \frac{1}{\omega C} I_m \sin \left(\omega t - \frac{\pi}{2} \right) , \quad (36)$$

отстает по фазе на угол $\frac{\pi}{2}$.

Таким образом, напряжение, приложенное к цепи, будет равно

$$u = RI_m \sin \omega t + \frac{1}{\omega C} I_m \sin \left(\omega t - \frac{\pi}{2} \right) , \quad (37)$$

На рис. 7(б) изображена векторная диаграмма цепи R , C . Вектор напряжения \vec{U}_R совпадает с вектором тока, вектор \vec{U}_C отстает от вектора тока на угол 90° . Из диаграммы следует, что вектор напряжения, приложенного к цепи, равен геометрической сумме векторов \vec{U}_R и \vec{U}_C :

$$\vec{U} = \vec{U}_R + \vec{U}_C , \quad (38)$$

а его величина

$$U = \sqrt{U_R^2 + U_C^2} . \quad (39)$$

Выразив U_R и U_C через ток и сопротивления, получим

$$U = \sqrt{(IR)^2 + (IX_C)^2} , \quad (40)$$

откуда

$$U = I \sqrt{R^2 + X_C^2} = IZ . \quad (41)$$

Последнее выражение представляет собой закон Ома цепи R и C :

$$I = \frac{U}{\sqrt{R^2 + X_C^2}} = \frac{U}{Z}, \quad (42)$$

где $Z = \sqrt{R^2 + X_C^2}$ - полное сопротивление, Ом.

Из векторной диаграммы следует, что напряжение цепи R и C отстает по фазе от тока на угол j и его мгновенное значение

$$u = U_m \sin(\omega t - j). \quad (43)$$

Временные диаграммы u и i изображены на рис. 7(в). Разделив стороны треугольника напряжений (рис. 7(б)) на ток, получим треугольник сопротивлений (рис. 7(д)), из которого можно определить косинус угла сдвига фаз между током и напряжением:

$$\cos j = \frac{R}{Z} = \frac{R}{\sqrt{R^2 + X_C^2}}. \quad (44)$$

Энергетические процессы в цепи с активным и емкостным элементами можно рассматривать как совокупность процессов, происходящих отдельно в цепи с R и с C . Из сети непрерывно поступает активная мощность, которая выделяется в активном сопротивлении R в виде тепла. Реактивная мощность, обусловленная электрическим полем емкости C , непрерывно циркулирует между источником энергии и цепью. Ее среднее значение за период равно нулю. Умножив стороны треугольника напряжений (рис. 7(б)) на ток, получим треугольник мощностей (рис. 7(г)). Стороны треугольника мощностей представляют:

$$P = U_R I = I^2 R - \text{активную мощность цепи, Вт;}$$

$$Q_C = U_C I = I^2 X_C - \text{реактивную (емкостную) мощность цепи, ВАр;}$$

$$S = UI = I^2 Z - \text{полную мощность цепи, ВА;}$$

$$\cos j = \frac{P}{S} - \text{коэффициент мощности цепи.}$$

УПРАЖНЕНИЕ 1
ИЗМЕРЕНИЕ И ВЫЧИСЛЕНИЕ ПАРАМЕТРОВ КАТУШКИ И КОН-
ДЕНСАТОРА МЕТОДОМ ТРЕХ ВОЛЬТМЕТРОВ

1. Собрать электрическую цепь, рис. 8

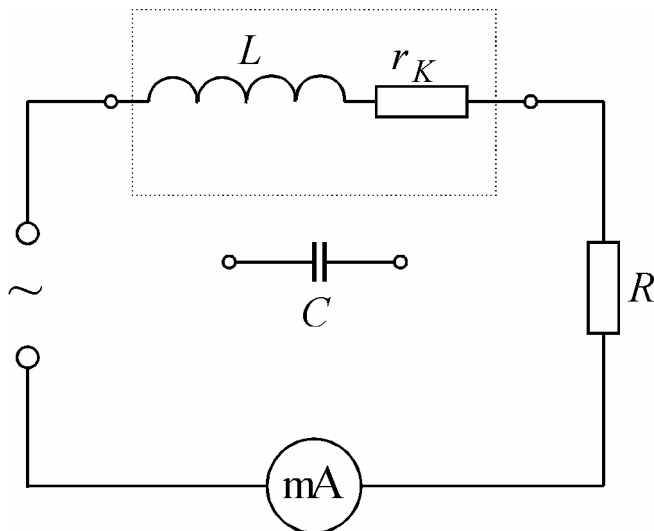


Рис. 8

2. После проверки схемы преподавателем включить питание цепи и измерить ток I на активном элементе, напряжения на входе цепи U и на катушке индуктивности U_K . Измерения следует производить на катушках с сердечником и без сердечника с числом витков 1200, 2400 и 3600 витков не менее трех раз.

Данные измерений занести в таблицу 1.

При измерениях необходимо иметь в виду следующее:

- а) не следует держать включенную цепь дольше, чем это необходимо для произведения отсчетов, так как в противном случае катушка нагреется и сопротивление ее значительно изменится.
- б) переключения катушки делать при отключении цепи от сети.

Таблица 1

	№	Измерено				Вычислено				
		$U, \text{ В}$	$U_R, \text{ В}$	$U_K, \text{ В}$	$I, \text{ А}$	$R, \text{ Ом}$	$X_K, \text{ Ом}$	$r_K, \text{ Ом}$	$L, \text{ Гн}$	j
катушка 1 (1200 витков)	1									
	2									
	3									
катушка 2 (2400 витков)	1									
	2									
	3									
катушка 3 (3600 витков)	1									
	2									
	3									
катушка 1 с сердечником	1									
	2									
	3									
катушка 2 с сердечником	1									
	2									
	3									
катушка 3 с сердечником	1									
	2									
	3									

3. Заменить в электрической цепи схемы (рис. 8) катушку индуктивности на конденсатор и провести измерения тока I , напряже-

ния на входе U , конденсаторе U_C и на резисторе U_R . Данные измерения занести в таблицу 2.

Таблица 2

	Измерено					Вычислено		
	№	U , В	U_R , В	U_C , В	I , А	R , Ом	X_C , Ом	C , мкФ
Конденсатор 1	1							
	2							
	3							
Конденсатор 2	1							
	2							
	3							

ОБРАБОТКА РЕЗУЛЬТАТОВ ОПЫТА

1. Используя опытные данные построить векторные диаграммы напряжений, треугольники сопротивлений и мощностей для исследуемой цепи.
2. Рассчитать параметры катушки индуктивности и конденсатора по методу трех вольтметров, используя векторные диаграммы и формулы (17), (17а), (28), (30), (31).
3. Сравнить результаты и сделать выводы.

КОНТРОЛЬНЫЕ ВОПРОСЫ

1. Объяснить графически построение векторных диаграмм по результатам измерений.
2. Как определить параметры катушки методом трех вольтметров?
3. Как определить параметры последовательной цепи R , C методом двух частот?
4. Запишите закон Ома для цепи R , L и для цепи R , C для действующих значений и в комплексной форме.

5. Что понимают под действующим значением тока?
6. Укажите свойства активного сопротивления в цепи синусоидального тока.
7. Укажите свойства индуктивного сопротивления в цепи синусоидального тока.
8. Укажите свойства ёмкостного сопротивления в цепи синусоидального тока.
9. Дайте определение векторной и топографической диаграмм.
10. Что понимают под треугольником сопротивлений.
11. Какую мощность измеряет ваттметр в цепи синусоидального тока?

Литература

ОСНОВНАЯ ЛИТЕРАТУРА

1. Калашников С.Г. Электричество. М. Физматлит, 2004. – 276 с.
2. Тамм И. Е. Основы теории электричества.- М. : Наука , 1989.- 504с.
3. А.Н. Матвеев. Электричество и магнетизм. Учеб. пособие для студ. вузов.- М. : ОНИКС 21 век: Мир и Образование , 2005.- 463с
4. Д.В. Сивухин. Общий курс физики. Электричество. : учеб. пособие для студ. физических спец. вузов- 4-е изд., стереотип.- М. : Физматлит: МФТИ , 2002.- 656с.
5. И.Е. Иродов. Электромагнетизм. Основные законы. М., ЛБЗ, 2001.

ДОПОЛНИТЕЛЬНАЯ ЛИТЕРАТУРА

1. Савельев И.В. Общий курс физики. Т. 3. Электричество. учеб. пособие для вузов- М. : Астрель : АСТ , 2003.- 336с
2. Фейнман Р., Лейтон Р., Сэндс М. Фейнмановские лекции по физике, вып. 5,6. Электричество и магнетизм. М., Мир, 1966.